

# ВЫРАЖЕНИЯ ДЛЯ РАСЧЕТА МАГНИТНЫХ ПОТОКОВ, НАВОДИМЫХ В ПЛОСКОМ ПРЯМОУГОЛЬНОМ КОНТУРЕ ТОКОМ, ПРОТЕКАЮЩИМ В ПРОВОДНИКЕ ПРЯМОУГОЛЬНОГО СЕЧЕНИЯ

Б. К. Петров, О. М. Булгаков, В. В. Лупандин, С. А. Петров

Воронежский государственный университет

Поступила в редакцию 22.12.2008 г.

**Аннотация.** Представлены новые аналитические выражения для расчета магнитных потоков самоиндукции и взаимной индукции в плоских прямоугольных контурах и обусловленных протеканием токов в проводниках прямоугольного сечения. Рассмотрены обобщенные случаи расположения проводника и контура в параллельных плоскостях при высокочастотном и низкочастотном приближениях.

**Ключевые слова к статье:** поток самоиндукции и взаимной индукции, проводник с прямоугольным поперечным сечением, планарные системы соединений, низкочастотное приближение, скин-эффект.

**Abstract.** New analytical expressions for calculation of magnetic streams of a self-induction and a mutual induction in flat rectangular contours and the currents caused by course in conductors of rectangular section are presented. The generalised cases of an arrangement of a conductor and a contour in parallel planes are considered at high-frequency and low-frequency approach.

**Keywords to clause:** a flow of a self-induction and mutual induction, conductor with rectangular cross section, planar systems of connections, low-frequency approach, skin-effect.

## ВВЕДЕНИЕ

С ростом частоты сигнала возрастает влияние индуктивных составляющих импедансов радиоэлектронных компонентов на усилительные и частотные свойства ВЧ и СВЧ радиоэлектронных устройств. На частотах свыше 300 МГц роль эквивалентных индуктивностей систем соединений в системе факторов, лимитирующих потери мощности и реализуемую ширину полосы частот радиоэлектронной аппаратуры, становится определяющей. Поэтому повышение точности расчетов малосигнальных параметров схем твердотельных ВЧ и СВЧ усилителей мощности, обусловленных явлениями самоиндукции и взаимной индукции в системах соединений, обеспечивает в конечном итоге повышение достоверности прогнозирования коэффициентов усиления по мощности и оптимальное проектирование межкаскадных согласующих цепей.

Планарные (полосковые) системы соединений обеспечивают воспроизводимость электрофизических параметров и максимально пригодны для автоматизации процессов сборки. Однако формулы, применяемые для расчетов индук-

тивностей полосок металлизации [1–3], не отличаются высокой точностью, так как получены с учетом упрощений для некоторых предельных случаев и не учитывают конечные размеры контуров, в которых наводятся потоки самоиндукции и взаимной индукции.

## НИЗКОЧАСТОТНОЕ ПРИБЛИЖЕНИЕ

Рассмотрим случай, когда ток с комплексной амплитудой  $\dot{I}$ , равномерно распределен по сечению проводника шириной  $N$  и высотой  $d$ , длиной  $l$  (рис. 1.). В плоском прямоугольном контуре площадью  $h \times l$ , находящимся в одной плоскости с проводником, наводится поток взаимной индукции с амплитудой  $\dot{\Phi} = F \cdot \dot{I}$ , где  $F$  — геометрический индуктивный фактор проводника по отношению к контуру [4]. Сечение проводника может быть разбито на  $M = d / 2r_0$  слоев, каждый из которых включает в себя  $N = w / 2r_0$  проводов круглого сечения радиуса  $r_0$ .

Тогда суммарный магнитный поток от проводника может быть представлен выражением:

$$F = 2 \cdot \sum_{i=1}^N \sum_{k=1}^M F_{ik}, \quad (1)$$

где

© Петров Б. К., Булгаков О. М., Лупандин В. В., Петров С. А., 2009

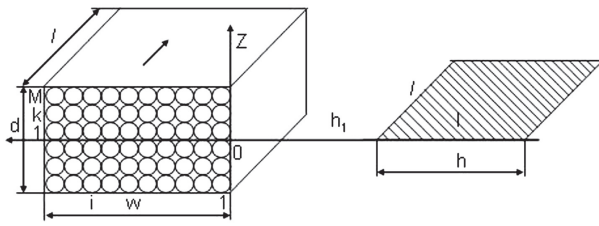


Рис. 1. К расчету потока самоиндукции от тока, протекающего по проводнику с прямоугольным поперечным сечением

$$F_{ik} = \frac{\mu_0 l}{2\pi} \left[ \sqrt{1 + \frac{(h_{ik}^* + h_{1ik}^* + r_0)^2}{l^2}} - \sqrt{1 + \frac{(h_{1ik}^* + r_0)^2}{l^2}} + \ln \left( \frac{l + \sqrt{l^2 + (h_{1ik}^* + r_0)^2}}{l + \sqrt{l^2 + (h_{ik}^* + h_{1ik}^* + r_0)^2}} \right) \times \left( \frac{h_{ik}^* + h_{1ik}^* + r_0}{h_{1ik}^* + r_0} \right) - \frac{h_{1ik}^*}{l} \right] \quad (2)$$

ГИФ проводника круглого сечения радиусом  $r_0$  и длиной  $l$  по отношению к рассматриваемому контуру,  $\mu_0 = 4\pi \cdot 10^{-7}$  Гн/м — магнитная постоянная в СИ,  $h_{ik}^* = \sqrt{(h + h_{1i} + r_0)^2 + (h_{2k} + r_0)^2} - \sqrt{(h_{1i} + r_0)^2 + (h_{2k} + r_0)^2}$ ,  $h_{1ik}^* = \sqrt{(h_{1i} + r_0)^2 + (h_{2k} + r_0)^2}$ ;  $h_{1i} = (2i - 1)r_0 - r_0$ ;  $h_{2k} = (2k - 1)r_0 - r_0$ .

С учетом того, что согласно рис. 1,  $Y = (2i - 1)r_0$ ;  $Z = (2k - 1)r_0$ ;  $\Delta Y = 2r_0$ ;  $\Delta Z = 2r_0$ ; при  $r_0 \rightarrow 0$ , заменим приращение на дифференциалы:  $r_0 \rightarrow \frac{dY}{2}$ ;  $r_0 \rightarrow \frac{dZ}{2}$ .

Тогда ГИФ всей пластины будет равен двойному интегралу:

$$F = \frac{2\mu_0}{w \cdot d \cdot \pi} \int_0^{d/2} \int_0^w \left[ \sqrt{l^2 + (h + Y)^2 + Z^2} - \sqrt{l^2 + Y^2 + Z^2} + l \times \ln \left( \frac{l + \sqrt{l^2 + Y^2 + Z^2}}{l + \sqrt{l^2 + (h + Y)^2 + Z^2}} \right) \times \left( \frac{\sqrt{(h + Y)^2 + Z^2}}{\sqrt{Y^2 + Z^2}} \right) - \left( \sqrt{(h + Y)^2 + Z^2} - \sqrt{Y^2 + Z^2} \right) \right] dY dZ. \quad (3)$$

В результате интегрирования получим:

$$F = \theta(h + h_1 + w) - \theta(h + h_1) - \theta(h_1 + w) + \theta(h_1), \quad (4)$$

где

$$\theta(X) = \frac{\mu_0}{\pi w d} \left[ \frac{Xd}{2} \left( \frac{1}{3} (\sqrt{l^2 + X^2 + d^2/4} - \sqrt{X^2 + d^2/4}) - l \cdot \ln \left( \frac{l + \sqrt{l^2 + X^2 + d^2/4}}{\sqrt{X^2 + d^2/4}} \right) \right) + \frac{X}{2} \left( \frac{X^2}{3} - 3l^2 \right) \ln \left( \frac{d/2 + \sqrt{l^2 + X^2 + d^2/4}}{\sqrt{l^2 + X^2}} \right) - \frac{X^3}{6} \ln \left( \frac{d/2 + \sqrt{X^2 + d^2/4}}{X} \right) + \frac{d^3}{48} \ln \left( \frac{X + \sqrt{l^2 + X^2 + d^2/4}}{X + \sqrt{X^2 + d^2/4}} \right) - \frac{l^2 d}{4} \ln \left( X + \sqrt{l^2 + X^2 + d^2/4} \right) + X^2 l \left( \frac{1}{2} \operatorname{arctg} \left( \frac{d}{2X} \right) + \operatorname{arctg} \left( \frac{d}{l + X + \sqrt{l^2 + X^2}} \right) - 2 \left( \operatorname{arctg} \left( \frac{l + d/2 + \sqrt{l^2 + X^2 + d^2/4}}{4} \right) + \operatorname{arctg} \left( \frac{l + \sqrt{l^2 + X^2}}{X} \right) \right) \right) + l \left( \frac{d^2}{8} \operatorname{arctg} \left( \frac{2X}{d} \right) - 2 \operatorname{arctg} \left( \frac{2(l + X + \sqrt{l^2 + X^2})}{d} \right) \right) - \frac{4l^2}{3} \left( \operatorname{arctg} \left( \frac{X + d/2 + \sqrt{l^2 + X^2 + d^2/4}}{l} \right) - \operatorname{arctg} \left( \frac{X + \sqrt{l^2 + X^2}}{l} \right) \right) \right]. \quad (5)$$

В процессе интегрирования по переменной  $Z$  (после интегрирования по  $Y$ ) было сделано допущение:

$$\operatorname{arctg} \left( \frac{l + X + \sqrt{l^2 + X^2 + Z^2/4}}{Z/2} \right) \approx \operatorname{arctg} \left( \frac{l + X + \sqrt{l^2 + X^2}}{Z/2} \right), \quad (6)$$

которое обеспечило запись результата интегрирования в аналитическом виде.

**ЧАСТНЫЕ СЛУЧАИ ПРИБЛИЖЕНИЯ  
МАЛОЙ ТОЛЩИНЫ ПРОВОДНИКА**

Рассмотрим случай, когда проводник в виде тонкой металлической полоски ( $d \ll w$ ), располагается параллельно плоскости контура на расстоянии  $h_2$  от нее;  $h_0$  расстояние между смежными параллельными прямыми контура и проекции проводника на плоскость контура (рис.2).

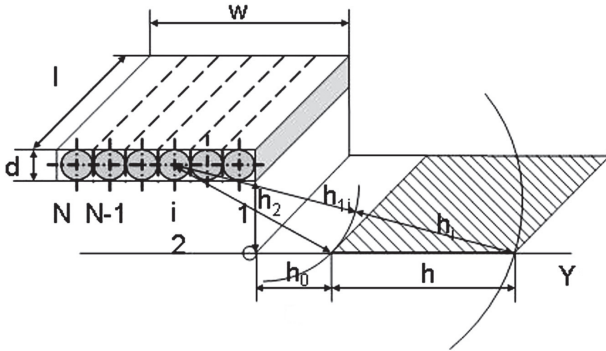


Рис. 2. К расчету потока самоиндукции от тока, протекающего по тонкой полоске металлизации

Выражение (1) сведется к сумме:

$$F_{np} = \sum_{i=1}^N F_i, \tag{7}$$

при условии равномерного распределения плотности тока по сечению проводника [5]:

$$F_i = \frac{d\mu_0 l}{2\pi w} \cdot \left[ \sqrt{1 + \frac{(h_i + h_{1i} + r_0)^2}{l^2}} - \sqrt{1 + \frac{(h_{1i} + r_0)^2}{l^2}} + \ln \frac{(l + \sqrt{l^2 + (h_{1i} + r_0)^2}) \cdot (h_i + h_{1i} + r_0)}{(l + \sqrt{l^2 + (h_i + h_{1i} + r_0)^2}) \cdot (h_{1i} + r_0)} - \frac{h_i}{l} \right], \tag{8}$$

где

$$h_{1i} = \sqrt{(h_2 + r_0)^2 + ((2i - 1)r_0 + h_1)^2} - r_0, \\ h_i = \sqrt{(h_2 + r_0)^2 + ((2i - 1)r_0 + h_1 + h)^2} - \sqrt{(h_2 + r_0)^2 + ((2i - 1)r_0 + h_1)^2} + r_0.$$

Устремим высоту сечения полоски к нулю:  $d \rightarrow 0$ . Такая ситуация характерна для частот  $f \geq 300$  МГц, когда распределение тока по сечению проводника определяется скин-эффектом. Толщина скин-слоя  $\sigma$  для алюминиевых и золотых проводников на частоте  $f = 1$  ГГц составляет

менее 2,7 мкм. Таким образом в первом приближении можно считать, что высокочастотный ток, протекающий по проводнику прямоугольного сечения шириной  $w$ , сосредоточен в пределах тонкой полоски с высотой сечения, равной удвоенной толщине скин-слоя  $d = 2\sigma \ll w$ . Тогда дискретная координата  $i$ -го проводника становится непрерывной:  $(2i - 1)r_0 \rightarrow Y$ ,  $h_2 + r_0 \rightarrow h_2$ , суммирование в (7) заменяется интегрированием по переменной  $Y$ . Геометрический индуктивный фактора тонкой металлической прямоугольной полоски (рис. 2.):

$$F_n = \frac{\Phi_{np}}{I} = \frac{\mu_0 l}{2\pi w} \times \int_0^w \left[ \sqrt{1 + \frac{(\sqrt{h_2^2 + (Y + h_0 + h)^2} + r_0)^2}{l^2}} - \sqrt{1 + \frac{h_2^2 + (X + h_0)^2}{l^2}} + \ln \frac{(l + \sqrt{l^2 + h_2^2 + (Y + h_0)^2}) (\sqrt{h_2^2 + (Y + h_0 + h)^2} + r_0)}{(l + \sqrt{l^2 + (\sqrt{h_2^2 + (Y + h_0 + h)^2} + r_0)^2}) (h_2^2 + (Y + h_0)^2)} - \frac{\sqrt{h_2^2 + (Y + h_0 + h)^2} - \sqrt{h_2^2 + (Y + h_0)^2} + r_0}{l} \right] dY. \tag{9}$$

Для компактной записи правой части выражения (9) введем алгебраический оператор:

$$\lambda(p) = \left[ \frac{1}{2} \left( p(\sqrt{l^2 + h_2^2 + p^2} - \sqrt{h_2^2 + p^2}) - l^2 \ln(p + \sqrt{l^2 + h_2^2 + p^2}) + h_2^2 \ln \left( \frac{p + \sqrt{l^2 + h_2^2 + p^2}}{p + \sqrt{h_2^2 + p^2}} \right) \right) + l \left( p \ln \left( \frac{\sqrt{h_2^2 + p^2}}{l + \sqrt{l^2 + h_2^2 + p^2}} \right) + h_2^2 \left( \arctg \left( \frac{p}{h_2} \right) - 2 \arctg \left( \frac{p + l + \sqrt{l^2 + p^2 + h_2^2}}{h_2} \right) \right) \right) \right]. \tag{10}$$

Тогда выражение (9) запишется в виде:

$$F_n = \frac{\mu_0}{2\pi w} [\lambda(h + h_0 + w) - \lambda(h + h_0) - \lambda(h_0 + w) + \lambda(h_0)]. \tag{11}$$

Частным случаем взаиморасположения проводника и контура является их нахождение в одной плоскости:  $h_2 = 0$ . Тогда выражение (9) примет вид:

$$F_n = \frac{\mu_0}{2\pi w} [\beta(h + h_0 + w) - \beta(h + h_0) - \beta(h_0 + w) + \beta(h_0)], \quad (12)$$

где

$$\beta(p) = \left[ \frac{1}{2} \left( p \left( \sqrt{l^2 + p^2} - p \right) - l^2 \ln \left( p + \sqrt{l^2 + p^2} \right) + l \left( p \ln \left( \frac{p}{l + \sqrt{l^2 + p^2}} \right) \right) \right) \right] \quad (13)$$

Рассмотрим случай:  $l \gg w$ , характерный для монтажа радиоэлектронных компонентов на полимерных подложках. Тогда формула (12) может быть заменена более простым приближенным выражением.

$$F_n^* = \frac{0,1 \cdot \mu_0 l}{\pi w} \left\{ 0,5 \cdot h \cdot \left( \sqrt{1 + \frac{h \cdot (2w + h)}{l^2}} + \sqrt{1 + \frac{h^2}{l^2}} \right) + 1,2 \cdot w \cdot \left( \sqrt{1 + \frac{h \cdot (2w + h)}{l^2}} + \frac{h}{l} \right) - 15 \cdot l \cdot \ln \left( \frac{h + \sqrt{1 + \frac{h^2}{l^2}}}{h + \sqrt{1 + \frac{h \cdot (2w + h)}{l^2}}} \right) + 7,5 \cdot h \cdot \ln \left( \frac{h + \sqrt{1 + \frac{h^2}{l^2}}}{h + \sqrt{1 + \frac{h \cdot (2w + h)}{l^2}}} \right) + \frac{0,1 \cdot w}{l} \cdot \left[ l \cdot \ln \left( \frac{w}{2 \cdot l} \right) + l \right] \right\} \quad (14)$$

Введем функцию относительной погрешности приближенного выражения:

$$\delta = \frac{F^*}{F} - 1. \quad (15)$$

На рис. 3 приведены зависимости величины  $\delta$  от ширины контура. Как следует из графиков, погрешность выражения (14) относительно исходной формулы для расчета ГИФ (12) для рассмотренных размеров проводников и контуров не превышает 6 %.

Погрешность выражения (14) для  $4 \leq l \leq 5$  мм и  $w = 0,15, \dots, 0,25$  мм лежит в пределах  $-0,06 \leq \delta \leq 0,02$  для  $h \leq 10$  мм. С увеличением ширины контура до 25 мм значение  $\delta$  при тех же размерах полоски монотонно увеличивается

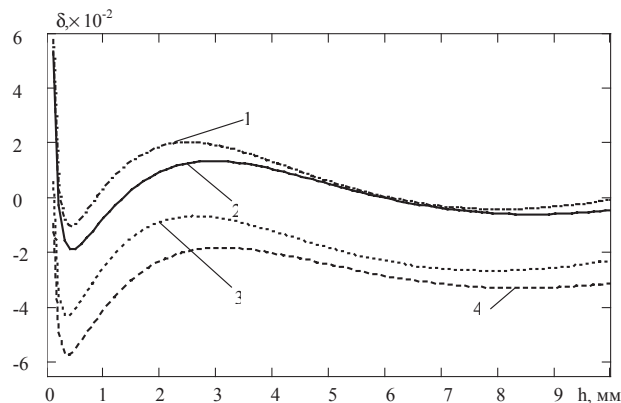


Рис. 3. Зависимость относительной погрешности приближенного выражения (14) от ширины контура: 1 —  $l = 4$  мм,  $w = 0,25$  мм; 2 —  $l = 5$  мм,  $w = 0,25$  мм; 3 —  $l = 4$  мм,  $w = 0,2$  мм; 4 —  $l = 5$  мм,  $w = 0,15$  мм

от 0,02 до 0,15. Таким образом, погрешность вычисления ГИФ по формуле (14) определяется не столько отношением  $w/l$ , из условия малости которого получена рассматриваемая формула, сколько отношением  $h/l$ .

Рассмотрим еще один частный случай, когда прямоугольный контур шириной  $h$  и длиной  $l$ , расположенный в створе тонкого проводника такой же длины, но в плоскости, перпендикулярной плоскости проводника так, что плоскость контура делит сечение проводника на две одинаковые половины высотой  $d/2$  (рис. 4).

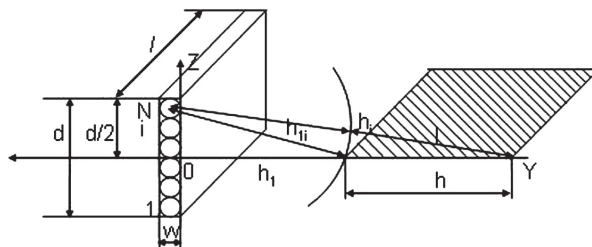


Рис. 4. К получению формулы для расчета геометрического индуктивного фактора прямоугольной полоски фольги по отношению к прямоугольному контуру, расположенному в перпендикулярной плоскости

Величина ГИФ при представлении проводника набором  $N$  проводников круглого сечения диаметром  $d = 2r_0 = w$  с учетом симметрии относительно плоскости  $XOY$ :

$$F_{\text{пр}} = 2 \sum_{i=1}^{N/2} F_i, \quad (16)$$

где  $F_i$  определяется выражением (8),

$$h_{1i} = \sqrt{(h_2 + w/2)^2 + \frac{w^2}{4}(2i-1)^2} - w/2,$$

$$h_i = \sqrt{(w/2 + h_1 + h)^2 + \frac{w^2}{4}(2i-1)^2} -$$

$$-\sqrt{(h_1 + w/2)^2 + \frac{w^2}{4}(2i-1)^2}.$$

Устремив толщину фольги  $w$  к нулю, перейдем в выражении (16) от суммирования к интегрированию по переменной  $z$ . В результате получим:

$$F_n = \frac{\mu_0}{\pi \cdot d} \cdot [\xi(l, d, h, +h_1) - \xi(l, d, h_1)], \quad (17)$$

где

$$\xi(l, d, X) = \frac{d}{2} [\sqrt{l^2 + X^2 + (d/2)^2} - \sqrt{X^2 + (d/2)^2}] -$$

$$-l^2 \cdot \ln \frac{d/2 + \sqrt{l^2 + X^2 + (d/2)^2}}{\sqrt{l^2 + (d/2)^2}} +$$

$$+ X^2 \cdot \ln \frac{\left( \frac{d/2 + \sqrt{l^2 + X^2 + (d/2)^2}}{\sqrt{l^2 + X^2}} \cdot \left( \frac{d/2 + \sqrt{X^2 + (d/2)^2}}{X} \right) \right)}{\left( \frac{d/2 + \sqrt{X^2 + (d/2)^2}}{X} \right)} -$$

$$-l \cdot d \cdot \ln \frac{l + \sqrt{l^2 + X^2 + (d/2)^2}}{\sqrt{X^2 + (d/2)^2}} +$$

$$+ 2l \cdot X \cdot \left[ \arctg \left( \frac{d}{2X} \right) - \right.$$

$$\left. - 2 \cdot \arctg \left( \frac{d/2 + l + \sqrt{l^2 + X^2 + (d/2)^2}}{X} \right) - \right.$$

$$\left. - \arctg \left( \frac{l + \sqrt{l^2 + X^2}}{X} \right) \right]. \quad (18)$$

### ПРИБЛИЖЕНИЕ РАВНОМЕРНОГО РАСПРЕДЕЛЕНИЯ ТОКА В ПРИПОВЕРХНОСТНОМ СЛОЕ

Рассмотрим высокочастотное приближение (рис. 5). Будем считать, что весь ток с комплексной амплитудой  $\dot{I}$  сосредоточен, в приближении постоянной плотности, в приповерхностной области, толщина которой равна удвоенной толщине скин-слоя  $r_0$ .

Комплексная амплитуда  $l$ -й гармоники потока самоиндукции  $\dot{\Phi}_l$  в плоском контуре шириной  $h$ , отстоящего от проводника на  $h_1$ , может

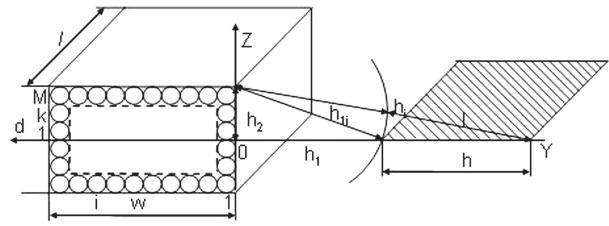


Рис. 5. К расчету ГИФ проводника с прямоугольным поперечным сечением с учетом скин-эффекта

быть найдена как сумма комплексных амплитуд магнитных потоков, наводимых токами, протекающим по приповерхностным областям граней проводника:

$$\dot{\Phi}_l = \dot{\Phi}_\perp + \dot{\Phi}'_\perp + 2 \cdot \dot{\Phi}_\parallel, \quad (19)$$

здесь  $\dot{\Phi}_\parallel$  — магнитные потоки от параллельных плоскости контура участков слоя толщиной  $2r_0$ ,  $\dot{\Phi}_\perp, \dot{\Phi}'_\perp$  — соответственно магнитные потоки от ближнего и дальнего перпендикулярных плоскости контура участков токового слоя.

С учетом симметрии сечения проводника относительно оси OY, выражение (19) запишется в виде:

$$\dot{\Phi}_l = 2 \cdot (\dot{\Phi}_{\perp B} + \dot{\Phi}'_{\perp B} + \dot{\Phi}_{\parallel}), \quad (20)$$

где  $\dot{\Phi}_{\perp B}, \dot{\Phi}'_{\perp B}$  — магнитные потоки от «верхних» (расположенных над осью OY) частей перпендикулярных плоскости контура участков токового слоя.

Представим каждый участок, поток от которого фигурирует в выражении (20), набором проводников круглого сечения диаметром  $2r_0$ . Тогда для участков, параллельных плоскости контура:

$$\dot{\Phi}_{\parallel} = \sum_{i=1}^N \dot{\Phi}_i; N = w/2r, \quad (21)$$

где  $F_i$  описывается выражением (8—11).

Аналогичным образом для участков сечения проводника, перпендикулярных плоскости контура, получены выражения:

$$\dot{\Phi}_{\perp B} = \frac{\mu_0 \dot{I}}{2\pi \cdot (d+w)} \cdot [\theta(h+h_1) - \theta(h_1)], \quad (22)$$

$$\dot{\Phi}'_{\perp B} = \frac{\mu_0 \dot{I}}{2\pi \cdot (d+w)} \cdot [\theta(h+w+h_1) - \theta(w+h_1)], \quad (23)$$

где  $\theta(g)$  определяется выражением (18).

Искомое выражение для геометрического индуктивного фактора проводника с прямоугольным сечением по отношению к отстоящему прямоугольному контуру с учетом скин-эф-

фекта получается делением на  $\dot{I}$  правой части формулы (21) с учетом выражений (23) — (28).

#### СПИСОК ЛИТЕРАТУРЫ

1. Данилин В.Н. Аналоговые полупроводниковые интегральные схемы СВЧ / В. Н. Данилин, А. И. Кушниренко, Г. В. Петров. — М.: Радио и связь, 1985. — 192 с.

2. Антенны и устройства СВЧ / Под ред. Д. И. Воскресенского. — М.: Радио и связь, 1981. — 432 с.

3. Калантаров П.Л. Расчет индуктивностей: Справочная книга / П. Л. Калантаров, Л. А. Цейтлин. — Л.: Энергоатомиздат, 1986. — 488 с.

4. Булгаков О.М. Композиционные модели индукционных взаимодействий в мощных ВЧ и СВЧ транзисторах / О. М. Булгаков, Б. К. Петров. — Воронеж: Воронежский государственный университет, 2005. — 253 с.

5. Булгаков О.М. К расчету индуктивности контуров, ограниченных проводниками прямоугольного сечения / О. М. Булгаков, Б. К. Петров // Вестник Воронежского института МВД России. — Вып. 2 (21). — Воронеж: ВИ МВД РФ, 2005. — С. 17—21.

---

**Петров Борис Константинович** — доктор технических наук, профессор кафедры физики полупроводников и микроэлектроники физического факультета Воронежского государственного университета. Закончил физический факультет ВГУ в 1962 г. Сфера научных интересов — полупроводниковая СВЧ электроника, силовая электроника, наноэлектроника.

**Булгаков Олег Митрофанович** — доктор технических наук, закончил физический факультет Воронежского государственного университета в 1985 г. Сфера научных интересов — моделирование мощных ВЧ и СВЧ транзисторов и транзисторных усилителей.

**Лупандин Владислав Владимирович** — закончил физико-математический факультет Воронежского государственного педагогического университета в 2004 г. Сфера научных интересов — прикладная математика, моделирование систем.

**Петров Семен Александрович** — закончил радиотехнический факультет Воронежского института МВД России в 2007 г. Сфера научных интересов — ВЧ и СВЧ усилители мощности, согласующие цепи и устройства.

**Boris K. Petrov** — Dr.Sci.Tech. (1981), the professor of chair of physics of semiconductors and microelectronics of physical faculty of the Voronezh state university. Has finished physical faculty VGU in 1962. Sphere of scientific interests — semi-conductor Over high-frequency electronics, power electronics, nanoelectronics.

**Oleg M. Bulgakov** — Dr.Sci.Tech. (2006), has finished physical faculty of the Voronezh state university in 1985. Sphere of scientific interests — modelling of powerful high-frequency and superhigh-frequency transistors and transistor amplifiers.

**Vladislav V. Lupandin** — has finished physical and mathematical faculty of the Voronezh state pedagogical university in 2004. Sphere of scientific interests — the applied mathematics, modelling of systems.

**Simeon A. Petrov** — has finished radio engineering faculty of the Voronezh institute of the Ministry of Internal Affairs of Russia in 2007. Sphere of scientific interests — high-frequency and superhigh-frequency amplifiers of capacity, a coordination and device chain.